

東京電機大学 理工学部 正員 青柳 栄
 埼玉大学 工学部 正員 林山成興
 埼玉大学 工学部 正員 岩村誠志

I. はじめに 本研究はT型鋼管継手の接合部近傍の応力集中を理論解析するための準備的研究として、大口径の孔を持つ円筒が一様軸引張を受けた時の応力解析を行なった。円筒と円筒の相接線は平面展開すると、孔が側面につぶ出た形状となるが、平均径の円に対する deviation は管径比 $2/3$ のT型継手でも4%程度である。(表-1)そこで、まず円孔を有する円筒の解析を行ない、次にこの解を基礎にしてT型継手接合部と同じ形状の孔(T-joint hole)を有する円筒の応力解析をした。

II. 円孔を有する円筒の応力解析 Shallow Shell の方程式
 $\Delta\Delta\Psi - 4\mu^2 \frac{\partial^2\Psi}{\partial\xi^2} = 0 \quad (1) \quad \mu = a/2\sqrt{RC} \quad \Delta = \frac{\partial^2}{\partial\xi^2} + \frac{\partial^2}{\partial\theta^2}$
 $C = h/\sqrt{1-(1-\nu^2)}$

$$\Psi = F - iEhCw \quad F: \text{Airy's stress function} \quad w: \text{normal displacement}$$

を解析の出発点とする。 Ψ は複素応力関数と呼ばれる。一様軸引張のように応力変形が doubly symmetric な解は極座標系に対して次の形で与えられる。

$$\Psi = \sum_{n=0}^{\infty} (A_n + iB_n) H_n^{(1)} [\mu \eta (-i)^{1/2}] \sum_{m=0}^{\infty} \varepsilon_m (-1)^m \cdot \{ J_{2m-n} [\mu \eta (-i)^{1/2}] + J_{-2m-n} [\mu \eta (-i)^{1/2}] \} \cos 2m\varphi \quad (2)$$

$$\text{ただし, } \eta = r/a \quad \varepsilon_m = \begin{cases} 1/2 & (m=0) \\ 1 & (m \geq 1) \end{cases} \quad A_n, B_n; \text{未定定数}$$

(2)の中の Bessel, Hankel & Kelvin関数で書きかえて整理すれば、

$$\Psi = \sum_{n=0}^{\infty} \sum_{m=0}^{\infty} (A_n + iB_n) (\Gamma^{nm} + i\Lambda^{nm}) \cos 2m\varphi \quad (3) \quad \text{となり, } \Gamma^{nm}, \Lambda^{nm} \text{は次式で与えられる。} \mu^* = 1/2\sqrt{RC}$$

$$\Gamma^{nm} = (-1)^m \varepsilon_m \frac{2}{\pi} [\text{kein}(\mu^* r) \{ \text{ber}_{2m-n}(\mu^* r) + \text{ber}_{-2m-n}(\mu^* r) \} + \text{kern}(\mu^* r) \{ \text{bei}_{2m-n}(\mu^* r) + \text{bei}_{-2m-n}(\mu^* r) \}] \quad (4)$$

$$\Lambda^{nm} = (-1)^m \varepsilon_m \frac{2}{\pi} [\text{kein}(\mu^* r) \{ \text{bei}_{2m-n}(\mu^* r) + \text{bei}_{-2m-n}(\mu^* r) \} - \text{kern}(\mu^* r) \{ \text{ber}_{2m-n}(\mu^* r) + \text{ber}_{-2m-n}(\mu^* r) \}]$$

(3)より、断面力、E-Xントの表示式が得られる。境界条件に用いるもののみを示すと次のようになる。

$$Q_{rr} = \left(\frac{1}{r^2} \frac{\partial^2}{\partial\varphi^2} + \frac{1}{r} \frac{\partial}{\partial r} \right) \text{Re}\Psi = \sum_{n=0}^{\infty} \sum_{m=1}^{\infty} \left[\left(\frac{1}{r^2} \Gamma_r^{nm} + \frac{1}{r^2} \Gamma_{\varphi\varphi}^{nm} \right) A_n - \left(\frac{1}{r^2} \Lambda_r^{nm} + \frac{1}{r^2} \Lambda_{\varphi\varphi}^{nm} \right) B_n \right] \cos 2m\varphi$$

$$Q_{r\varphi} = -\frac{\partial}{\partial r} \left(\frac{1}{r} \frac{\partial}{\partial\varphi} \right) \text{Re}\Psi = \sum_{n=0}^{\infty} \sum_{m=1}^{\infty} \left[\left(\frac{1}{r^2} \Gamma_r^{nm} - \frac{1}{r^2} \Gamma_{\varphi\varphi}^{nm} \right) A_n - \left(\frac{1}{r^2} \Lambda_r^{nm} - \frac{1}{r^2} \Lambda_{\varphi\varphi}^{nm} \right) B_n \right] \sin 2m\varphi$$

$$M_{rr} = D(\chi_{rr} + v\chi_{\varphi\varphi}) = C \left\{ \frac{\partial^2}{\partial r^2} + v \left(\frac{1}{r^2} \frac{\partial^2}{\partial\varphi^2} + \frac{1}{r} \frac{\partial}{\partial r} \right) \right\} \text{Im}\Psi \quad (5)$$

$$= C \sum_{n=0}^{\infty} \sum_{m=0}^{\infty} \left\{ \Lambda_{rr}^{nm} + v \left(\frac{1}{r^2} \Lambda_r^{nm} + \frac{1}{r^2} \Lambda_{\varphi\varphi}^{nm} \right) \right\} A_n + \left[\Gamma_{rr}^{nm} + v \left(\frac{1}{r^2} \Gamma_r^{nm} + \frac{1}{r^2} \Gamma_{\varphi\varphi}^{nm} \right) \right] B_n \cos 2m\varphi$$

$$Q_{rn} = -D \frac{\partial}{\partial r} \nabla^2 w + \frac{1}{r} \frac{\partial M_{rr}}{\partial\varphi} = C \left[\frac{\partial^3}{r^2} \frac{\partial^2}{\partial\varphi^2} + \frac{1}{r^2} \frac{\partial^3}{\partial r\partial\varphi^2} - \frac{1}{r^2} \frac{\partial}{\partial r} + \frac{1}{r^2} \frac{\partial^2}{\partial r^2} \right] + (1-v) \left[\frac{1}{r^2} \frac{\partial^3}{\partial r\partial\varphi^2} - \frac{2}{r^3} \frac{\partial^2}{\partial\varphi^2} \right] \text{Im}\Psi$$

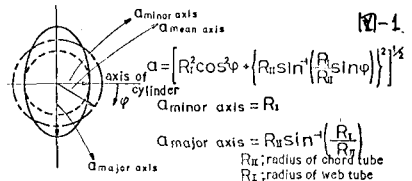
$$= C \left[\left(\Lambda_{rrr} - \frac{1}{r^2} \Lambda_{rr}^{nm} + \frac{1}{r^2} \Lambda_{rr}^{nm} \right) \frac{2}{r^2} \frac{\partial^2}{\partial\varphi^2} + \frac{1}{r^2} \Lambda_{rr}^{nm} - \frac{1-v}{r^3} \Lambda_{\varphi\varphi}^{nm} + \frac{1-v}{r^2} \Lambda_{\varphi\varphi}^{nm} \right] A_n +$$

$$+ \left[\left(\Gamma_{rrr} - \frac{1}{r^2} \Gamma_{rr}^{nm} + \frac{1}{r^2} \Gamma_{rr}^{nm} \right) \frac{2}{r^2} \frac{\partial^2}{\partial\varphi^2} + \frac{1}{r^2} \Gamma_{rr}^{nm} - \frac{1-v}{r^3} \Gamma_{\varphi\varphi}^{nm} + \frac{1-v}{r^2} \Gamma_{\varphi\varphi}^{nm} \right] B_n \cos 2m\varphi$$

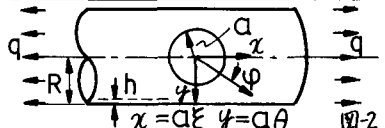
(5)の中で、 $\Gamma_{\varphi\varphi}^{nm}$ の subscript r は(4)を r で微分することを意味し、subscript φ はたゞえれば、 $\Gamma_{\varphi\varphi}^{nm} = (-2m)\Gamma_{\varphi\varphi}^{nm}$ 、 $\Lambda_{\varphi\varphi}^{nm} = -4m^2 \Lambda_{rr}^{nm}$ などを意味する。次に境界条件としては、Unperforated Cylinder (孔のないふつうの円筒)の一様軸引張を基本応力状態にすれば、これらは

$$Q_{rr} = \frac{1}{2} qh(1+\cos 2\varphi), \quad Q_{\varphi\varphi} = \frac{1}{2} qh(1-\cos 2\varphi), \quad Q_{r\varphi} = -\frac{1}{2} qhsin 2\varphi, \quad M_{rr} = M_{\varphi\varphi} = \bar{Q}_{r\varphi} = \bar{Q}_m = \bar{Q}_{\varphi n} = 0 \quad (6)$$

と表わされる。円孔をもつ円筒の境界条件は、円孔の edge で stress-free の条件を満足させねばよい。つまり、 $r = a$ で $Q_{rr} + \bar{Q}_{rr} = 0$, $Q_{r\varphi} + \bar{Q}_{r\varphi} = 0$, $M_{rr} = 0$, $Q_{\varphi\varphi} = 0$ である。(5), (6)を(1)に代入して、fourier 総数の比較をすれば、 A_n , B_n を決定するための連立方程式が得られる。n, m は連立方程式の係数行



R_w = 30.03 cm	表-1
C _{minor} = R _w /R _{cylinder}	0.005
C _{major} = R _w /R _{web tube}	0.008%
C _{mean} = R _w /R _{tube}	0.97%



例が正方となるように adjust して打ち切り, Gauss-Jordan 法で解いた。たとえば、円孔の接線方向面内力を $Q_{\varphi\varphi} = f_0 + f_1 \cos 2\varphi + f_2 \cos 4\varphi + f_3 \cos 6\varphi + f_4 \cos 8\varphi + f_5 \cos 10\varphi + \dots$ と表示した時の係数 f_i ($i=0 \sim 5$) を表-2 に示す。 $(a/R=2/3$ の場合) a/R が小さい場合には、円孔を持つ無限板の一方向引張の応力状態 (Kirsch の解) に相当してくること、及び $a/R=1/5$ の場合の実験値と良く一致すること等により、この解の有効性をチェックした。図-3 には $a/R=2/3$ の場合の、円孔の接線方向の膜応力、曲げ応力の分布を応力集中で示す。 $(r=a$ の値)

III. T-joint hole とある円筒の応力解析 T-joint hole

に対する複素応力関数として、管径比 $\epsilon = R_t/R_{II}$ を微小パラメータに選び、次の形を仮定する。

$$\Psi = \Psi^{(0)} + \epsilon \Psi^{(1)} + \epsilon^2 \Psi^{(2)} + \epsilon^3 \Psi^{(3)} + \dots + \sum_{j=0}^{\infty} \epsilon^j \Psi^{(j)} \quad (8)$$

Ψ は II で得られた複素応力関数であるが、ここでは μ は const.

$$\text{ではなく } \mu = a/2\sqrt{RC} = \frac{\sqrt{12}(1-\sqrt{1-\epsilon})}{2} \frac{R_0}{\sqrt{R}h} [1 + \epsilon_{ECC}(2\sin^4\varphi - 1)]$$

と表わされる。ただし、 R_0 : 平均径 $\epsilon_{ECC} = \frac{1}{1+\frac{1}{2}\epsilon^2}$ 今、

$$\epsilon_0 = \epsilon_{ECC}(2\sin^4\varphi - 1) \quad \beta = \frac{\sqrt{12}(1-\sqrt{1-\epsilon})}{2} \frac{R_0}{\sqrt{R}h} \eta \text{ とおれば, } J_n[\mu\eta e^{3\pi i/4}] =$$

$J_n[\beta(1+\epsilon_0)e^{3\pi i/4}]$ であるから、加法定理を用いてこれを ϵ_0 のべき乗に展開し、(8)の $\Psi^{(j)}$ 代入して整理すれば $\Psi^{(j)} = \sum \epsilon_j \Psi_j^{(j)}$ と表わし得る。しかるに、

$$\epsilon_0 \leq \epsilon_{ECC} < \frac{1}{12}\epsilon^2 \text{ であるから } \epsilon = 2/3 \text{ でも } \epsilon_0 = 0.04 \text{ 程度である。そこで,}$$

$$\Psi^{(0)} = \Psi_0^{(0)} \text{ とおれば, (8) は } \Psi = \sum \epsilon \Psi_0^{(j)} = \Psi_0^{(0)} + \epsilon \Psi_0^{(1)} + \epsilon^2 \Psi_0^{(2)} + \dots \quad (9)$$

となる。ここで、 $\mu = R_0/2\sqrt{RC} \quad \mu\eta = \beta$

$$\Psi_0^{(0)} = \sum_{n=0}^{\infty} \sum_{m=0}^{\infty} (A_n^{(0)} + iB_n^{(0)}) (-1)^m E_m H_n^{(1)} (\mu\eta e^{3\pi i/4}) / \{ J_{2m-n}(\mu\eta e^{3\pi i/4}) + J_{-2m-n}(\mu\eta e^{3\pi i/4}) \} \cos 2m\varphi \quad (10)$$

こうして T-joint hole に対する複素応力関数が得られたので次のようない断面力、E-X ントの表示式

$$Q_{rr} = \sum_{n=0}^{\infty} \sum_{m=0}^{\infty} (F_{rra} A_n^{(0)} + F_{rrb} B_n^{(0)}) \cos 2m\varphi \quad Q_{r\varphi} = \sum_{n=0}^{\infty} \sum_{m=0}^{\infty} (F_{r\varphi a} A_n^{(0)} + F_{r\varphi b} B_n^{(0)}) \sin 2m\varphi \quad (11)$$

$$M_{rr} = \sum_{n=0}^{\infty} \sum_{m=0}^{\infty} (W_{rra} A_n^{(0)} + W_{rrb} B_n^{(0)}) \cos 2m\varphi \quad Q_m = \sum_{n=0}^{\infty} \sum_{m=0}^{\infty} (K_{rn a} A_n^{(0)} + K_{rn b} B_n^{(0)}) \cos 2m\varphi$$

が導かれる。F, W, K は各々、(5) の A_n B_n の係数である。(11) はさらに T-joint hole の境界線の垂直方向、接線方向にわたる局所座標系での表示式に変換される。(図-4) つまり、

$$Q_{vv} = Q_{rr} \cos^2 \Phi + Q_{r\varphi} \sin^2 \Phi - 2Q_{r\varphi} \sin \Phi \cos \Phi$$

$$Q_{vt} = Q_{r\varphi} (\cos^2 \Phi - \sin^2 \Phi) + (Q_{rr} - Q_{r\varphi}) \sin \Phi \cos \Phi$$

$$M_{vv} = M_{rr} \cos^2 \Phi + M_{r\varphi} \sin^2 \Phi + 2M_{r\varphi} \sin \Phi \cos \Phi \quad (12)$$

$$Q_{vn} = Q_{rn} \cos \Phi - Q_{rn} \sin \Phi$$

(12) で $\cos \Phi, \sin \Phi$ にも ϵ が入っているが、終局的に

$$Q_{vv} = \sum_{j=0}^{\infty} \epsilon^j Q_{vv}^{(j)} \quad Q_{vt} = \sum_{j=0}^{\infty} \epsilon^j Q_{vt}^{(j)} \quad M_{vv} = \sum_{j=0}^{\infty} \epsilon^j M_{vv}^{(j)} \quad Q_{vn} = \sum_{j=0}^{\infty} \epsilon^j Q_{vn}^{(j)}$$

の形に表示し得る。(6) も同様に局所座標系に変換される。境界条件

$$r = r_0 \quad Q_{vv} + \bar{Q}_{vv} = 0 \quad Q_{vt} + \bar{Q}_{vt} = 0 \quad M_{vv} = 0 \quad Q_{vn} = 0 \quad (13)$$

である。(13) でまず ϵ の同じべきを等置し、次に Fourier 係数の

比較をすれば、 $A_n^{(0)}, B_n^{(0)}$ を決定するための連立方程式が得られる。計算では ϵ までとり、 $n=8, m=4$ で打ち切った。

図-5 は T-joint hole edge 上の接線方向応力集中係数を示す(実線)。点線は短径を半径とする円孔の解である。

IV. まとめ。大口径の孔の場合、平均径と円筒の半径の比が大きいと、応力集中率がかなり高められることが定量的に明らかになった。詳しい解析結果は当時の発表に譲る。本解析を基本応力状態とし、枝管を接合させて、

接合線上での応力変形連続条件を与えて、T 型細管維手の応力解析が可能である。

$a/R = 2/3$ 表-2

	m=3	m=4	m=5
f_0	0.72534055	0.72532672	0.72532690
f_1	-2.46753216	-2.46778107	-2.46778202
f_2	1.74345684	1.74304390	1.74304362
f_3	-0.11253041	-0.11304790	-0.11302710
f_4		0.00378621	0.00412713
f_5			0.00008873

STRESS DISTRIBUTION UNDER UNIFORM TENSION
CIRCUMFERENTIAL MEMBRANE AND BENDING STRESS

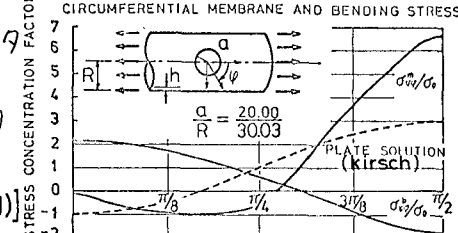


図-3

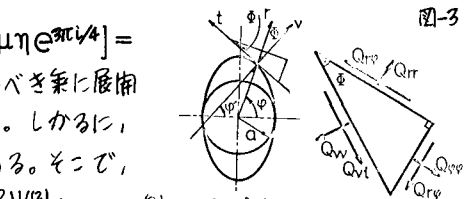


図-4

$$\begin{aligned} \text{SIn}^2\Phi &= \frac{1}{4} - \epsilon^4 \text{SIn}^4\Phi \text{Cos}^2\Phi \\ \text{SIn}^2\Phi \text{Cos}^2\Phi &= \frac{1}{4} - \epsilon^2 \text{SIn}^2\Phi \text{Cos}^2\Phi + \frac{1}{2}\epsilon^4 \text{SIn}^2\Phi \text{Cos}^2\Phi \end{aligned}$$

CIRCUMFERENTIAL MEMBRANE AND BENDING STRESS
($R_t/R_{II} = \alpha_{minor}/R_{II} = 1/2$)

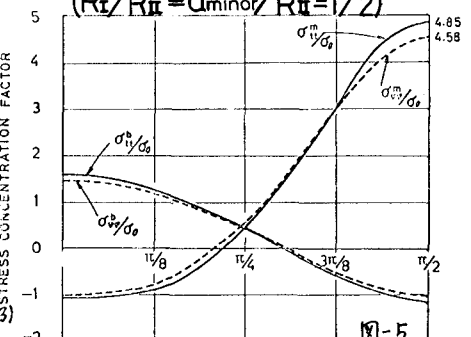


図-5